

과 \bar{F} 와를 분리하는 것은 옳지 않게 된다. 이러한 경우에는 Fokker-Planck의 방정식이라는 것이 사용된다.

3.3. 운동량 수송방정식

속도 \mathbf{V} 의 입자함수 $Q(\mathbf{V})$ 의 입자속도분포에 관한 평균치 \bar{Q} 는 입자밀도를 $n(\mathbf{r}, t)$ 라고 하면

$$\bar{Q}(\mathbf{r}, t) = \frac{1}{n(\mathbf{r}, t)} \int \int \int_{-\infty}^{\infty} Q(\mathbf{V}) f(\mathbf{r}, \mathbf{v}, t) d\mathbf{v} \dots (9)$$

로서 주어진다. (8)식에 $Q(v)dv$ 를 풀어서 적분하여 (9)식의 정리를 사용하면

$$\begin{aligned} \frac{\partial}{\partial t} (n\bar{Q}) + \frac{\partial}{\partial v} (nvQ) \frac{n}{m} \frac{\partial (\bar{F}\bar{Q})}{\partial v} = \\ \int_{-\infty}^{+\infty} \left(\frac{\partial f}{\partial t} \right)_{\text{coll}} Q dv \dots \dots \dots (10) \end{aligned}$$

제3항은 (8)식의 제3항을 부분적분한 결과이다. $Q=1$ 라고 하면

$$\frac{\partial n}{\partial t} + \nabla(n\mathbf{V}) = 0 \dots \dots \dots (11)$$

전체의 입자수는 충돌에 의해서는 변치 않기 때문에 우변은 0으로 된다. 이것은 결국 연속방정식에 지나지 않는다.

운동량 수송방정식은 $Q=m\mathbf{V}$ 로 둘으로서 얻어진다.

$$\begin{aligned} \frac{\partial}{\partial t} (nm\bar{V}) + \frac{\partial}{\partial v} (nm\mathbf{V}\mathbf{V}) = \frac{n}{m} \frac{\partial}{\partial v} \\ (\mathbf{F} \cdot m\mathbf{V}) = \int_{-\infty}^{+\infty} \left(\frac{\partial f}{\partial t} \right)_{\text{coll}} m\mathbf{V} dV \dots \dots \dots (12) \end{aligned}$$

속도 \mathbf{V} 를 가시적인 평균속도 $\bar{\mathbf{V}}$ 와 일운동 속도 \mathbf{V}_r 와의 합성으로서

$$\mathbf{V} = \bar{\mathbf{V}}(\mathbf{r}, t) + \mathbf{V}_r \dots \dots \dots (13)$$

으로 나타낸다. 제 1항은

$$\frac{\partial (nm\bar{V})}{\partial t} = \bar{\mathbf{V}} \cdot \frac{\partial (nm)}{\partial t} + nm \frac{\partial \bar{V}}{\partial t}$$

이고 제3항은

$$\frac{n}{m} \frac{\partial}{\partial \mathbf{V}} (\mathbf{F} \cdot m\mathbf{V}) = \bar{n}\bar{\mathbf{F}}$$

제2항은 (13)식을 고려하여

$$\begin{aligned} \frac{\partial}{\partial r} (nm\mathbf{V}\mathbf{V}) &= \bar{\mathbf{V}} \cdot \frac{\partial (nm)}{\partial r} + nm \bar{\mathbf{V}} \cdot \mathbf{V}_r \\ &= nm(\bar{\mathbf{V}} \cdot \bar{\mathbf{V}})\bar{\mathbf{V}} + \bar{\mathbf{V}}\bar{\mathbf{V}} \cdot (nm\bar{\mathbf{V}}) + \bar{\mathbf{V}}\bar{\mathbf{V}} \end{aligned}$$

$\bar{\mathbf{V}} = nm\mathbf{V}_r$, \mathbf{V}_r 는 kinetic stress tensor이고 입자가 Maxwell분포를 하고 있는 경우는

$$\bar{\mathbf{V}} = nm\bar{V}\bar{V}_r^2 = -\frac{1}{3}nm\bar{V}_r^2 \dots \dots \dots (14)$$

즉, 입자의 분압을 나타낸다. (12)식의 우변은 입자의 전단간의 충돌에 의한 운동량의 변화로서 이것을 \mathbf{P} 라고 나타내면 (12)식은 (11)식을 고려하여

$$nm \left(\frac{\partial \bar{V}}{\partial t} + \bar{\mathbf{V}} \cdot \bar{\mathbf{V}} \right) = n\bar{\mathbf{F}} - A \cdot \bar{\mathbf{V}} + \mathbf{P} \dots \dots \dots (15)$$

이 식의 좌변은 $\frac{d}{dt} = \frac{\partial}{\partial t} + \sum \frac{dx_i}{\partial t} \frac{\partial}{\partial x_i} = \frac{\partial}{\partial t} + \bar{\mathbf{V}} \cdot \bar{\mathbf{V}}$ 를 고려하면 아는 바와 같이 단위체적 중의 전입

자의 질량에 그 가속도를 곱한 것이다. 우변은 단위체적 중의 전입자에 작용하는 모든 힘이다. 따라서 이 방정식은 Newton의 제 2법칙을 나타내는 셈이 된다.

3.4. Plasma에 대한 전자유체방정식

앞 절에서 기술한 (15)식은 일 종류의 입자의 집단에 대해서 성립하는 관계지만 전자와 이온으로부터 구성되는 두상분의 집단인 plasma에 대해서는 전자기체, 이온기체에 대해 각각 성립하는 것이다. 전자 및 이온의 질량을 각각 m_e , m_i , 전하를 e , e_i , 입자밀도를 n_e , n_i , 평균속도 v_e , v_i ,라고 하면 mass밀도 ρ_m 은

$$\rho_m = n_e m_e + n_i m_i \dots \dots \dots (16)$$

mass current \mathbf{J} 는

$$\mathbf{J} = n_e m_e \mathbf{v}_e + n_i m_i \mathbf{v}_i \dots \dots \dots (17)$$

plasma의 평균속도 \mathbf{V} 는

$$\mathbf{V} = \mathbf{J}/\rho_m \dots \dots \dots (18)$$

한편 charge density ρ_c 는

$$\rho_c = n_e e + n_i e_i \dots \dots \dots (19)$$

전류밀도는

$$\mathbf{j} = n_e e \mathbf{v}_e + n_i e_i \mathbf{v}_i \dots \dots \dots (20)$$

지금 (15)식을 전자에 대해서 백터의 α 성분만을 추려내면

$$\begin{aligned} m_e n_e \frac{\partial v_e}{\partial x_\alpha} + m_e n_e \sum_{\beta=1}^3 v_\beta \frac{\partial v_\alpha}{\partial x_\beta} \\ = n_e e \left[E\alpha + (v \times \beta)_e - n_e m_e - \frac{\partial \phi}{\partial x_L} - \sum_{\beta=1}^3 \right. \\ \left. \frac{\partial \phi \beta \alpha}{\partial x_\beta} + \right] d\mathbf{v} n_e v_\alpha \left(\frac{\partial f_e}{\partial t} \right)_{\text{coll}}, \quad i \rightarrow e \end{aligned}$$

여기서 $i \rightarrow e$ 라는 것은 이온부터 전자에 주어진 운동량을 나타낸 것이다. 전자질의 운동량의 수여는 역시 전체로서 0으로 되기 때문에 나타나지 않는다. Newton의 제 3법칙에 의해

$$\begin{aligned} \int d\mathbf{v} m_i \mathbf{v} \left(\frac{\partial f_i}{\partial t} \right)_{\text{coll}} e \rightarrow i &= \int d\mathbf{v} m_i \mathbf{v} \\ \left(\frac{\partial f_i}{\partial t} \right)_{\text{coll}} i \rightarrow e \end{aligned}$$

가 성립하기 때문에 이온에 대한 식과 전자에 대한 식을 합하면 전 운동량 보존식이 얻어진다. plasma를 전기방적이라고 가정하면 kinetic stress tensor는 (14)식에 나타난 것처럼 압력 p 로 피기 때문에

$$\rho_m \frac{\partial \mathbf{v}}{\partial t} = \rho \mathbf{E} + \mathbf{j} \times \mathbf{B} - \mathbf{v} \cdot \mathbf{p} - \rho_m \mathbf{v} \cdot \phi \dots \dots \dots (21)$$

를 얻게된다. 이것은 바로 Newton의 제 2법칙의 전자유체적인 표현이다.

다음에 전자에 대한 (15)식에 e/m_e 를 곱하여 이온에 대한 (15)식에 e_i/m_i 를 곱한것과 합한다. 그때에 간단히 하기 위하여 다음과 같은 가정을 세운다. 즉 (i) plasma는 거의 동방적이다. 따라서 kinetic stress

tensor의 분압을 나타낸다. (ii) plasma는 중성이다. (iii) $m_e/m_i \ll 1$, (iv) 전자와 이온사이의 운동량의 교환은 진류에 미치한다. 따라서 $\int d\mathbf{v} m_e \left(\frac{\partial f}{\partial t} e \right) \text{coll}$
 $\rightarrow -ne\mathbf{j}$ 라고 가정한다.

그리면

$$\frac{m_e}{n_e e^2} \frac{\partial \mathbf{j}}{\partial t} = \mathbf{E} + \left(\mathbf{v} + \frac{\mathbf{j}}{n_e e} \right) \times \mathbf{B} - \frac{1}{n_e e} v \mathbf{- nj} \quad (22)$$

가 얻어진다. 이것은 plasma내의 기전력에 대해서 기술한 것으로 우편 제 2항은 plasma의 거시적인 운동과 차지와의 상호작용으로 의해 생기는 풍전력과 plasma내의 전류를 만드는 전자와 병진운동과 차지와의 상호작용에 의해 생기는 Hall전력과의 합이된다. 제 3항은 kinetic stress tensor의 항으로서 \mathbf{P} 는 (14)식에서 보는바와같이 일운동에 기인하는것이 이해문에 이 항은 일기전력에 해당한다. 제4항은 전자집단과 이온집단의 충돌에 의한 운동량의 변화 \mathbf{P} 로부터 가정(iv)에 의해 나타난것이다. 정상상태로서 $\mathbf{B}=0$, $\mathbf{j}=0$ 가 무시되는 경우에는 $\mathbf{E}=\eta \mathbf{j}$ 라고하는 보통의 오음의 법칙이 얻어진다. 여기서 보는 바와같이 η 는 고유자학으로 된다. (22)식은 일반화된 오음의 법칙이라고 부르는 경우가 있다. (22)식이 plasma를 유체로서 취급을 하는 경우의 기본식이 된다. 예를들면 MHD방언은 (22)식의 우편 제2항의 $\mathbf{V} \times \mathbf{B}$ 라고하는 기전력을 가지고 발견하는 것이다.

4. Plasma속의 파동과 불안정성

Plasma속에는 여러가지 종류의 파동이 전파하거나 발생한다. 또 이것은 plasma의 불안정성(Instability)에 밀접하게 관련하고 있다. 단정성과 불안정성의 구별은 Plasma속의 에너지의 여러가지 형태, 전자 및 이온의 열에너지, ordered motion의 기계적 에너지, 전기 에너지, 자기에너지 등 그들중에 어느것이나 두 에너지 사이에서 그 기계적 및 전자적 결합을 통하여 행해지는 에너지 변환이 일방적으로 행해지거나 또는 양복하고 반복해서 행해지는가에 따라 구별된다. 이와같은 불안정성 내지 파동은 학용합에 있어서 이를 끼치지만 반대로 파동의 발생이나 plasma내부의 진단등에 이용된다.

일반적으로 Maxwell의 전자방정식과 전자 인속식

$$\begin{aligned} \nabla \times \mathbf{E} &= -\mu \frac{\partial \mathbf{H}}{\partial t} \\ \nabla \times \mathbf{H} &= \sigma_e \mathbf{E} + \epsilon \frac{\partial \mathbf{E}}{\partial t} \\ \epsilon \nabla \cdot \mathbf{E} &= \varphi \\ \frac{\partial \varphi}{\partial t} + \nabla \cdot (\sigma_e \mathbf{E}) &= 0 \end{aligned} \quad (23)$$

으로부터 파동방정식이 얻어진다. 즉,

$$\left. \begin{aligned} \nabla \times \nabla \mathbf{E} &= -\mu \sigma \frac{\partial \mathbf{E}}{\partial t} + \mu \epsilon \frac{\partial^2 \mathbf{E}}{\partial t^2} \\ \text{또는 } \nabla^2 \mathbf{E} - \nabla \left(\frac{\sigma}{\epsilon} \right) &= -\mu \sigma \frac{\partial \mathbf{E}}{\partial t} + \mu \epsilon \frac{\partial^2 \mathbf{E}}{\partial t^2} \end{aligned} \right\} \quad (24)$$

이다. Plasma속에서는 $\mu \approx \mu_0$ (진공의 도자율), ϵ 는 5월 호의 (46)식으로 주어지는 tensor이다. 그런데 (24)식은 일반적으로 다음과같은 세 종류의 형태를 가진 파동을 주게된다. 즉,

(i) Electrostatic wave

\mathbf{E} 와 $j = \sigma \mathbf{E}$ 가 바같이 전파방향(\mathbf{K})에 평행인 경우의 공간전류를 restoring force로 하는 층파(縱波)로서 후출하는파와 같이 plasma진동에 관련하고있다. 전자 plasma진동과 이온 plasma진동으로 나른다.

(ii) Electromagnetic wave

\mathbf{E} 와 \mathbf{P} 의 전파방향 \mathbf{K} 가 직각인 파로서 보통 일반적으로 우리가 부르는 전파이다.

(iii) Hydromagnetic wave (MHD파)

전자속의 방정식(21)에서 나타나는 $\mathbf{j} \times \mathbf{B}$ 를 restoring force로 하는 정 이온의 물려운 자역진의 전동이다.

일반적으로 자속속에서의 plasma는 이를 세가지 파가 혼란한 파동이 생긴다. 이와같은 파동방정식의 해는

$$\mathbf{E} = \mathbf{E}_0 \exp j(\omega t - \mathbf{K} \cdot \mathbf{r}) = \mathbf{E}_0 \exp j(\omega t - \frac{2\pi \mathbf{r}}{\lambda}) \quad (25)$$

와 같이 시간 t 및 위치 \mathbf{r} 의 함수로서 나타난다.

$\omega \cdot \mathbf{K} (= \frac{2\pi}{\lambda})$ 는 각각 각 주파수 및 파수 벡터(전파

정수벡터)이다. 이 파의의 위상속도와 군속도는 각각 다음과식으로 나타낸다.

$$V_p = \frac{\omega}{|\mathbf{K}|} \quad (26)$$

$$V_g = \frac{\partial \omega}{\partial \mathbf{K}} \quad (27)$$

또 일반적으로 \mathbf{K} 는 ω 의 함수로서 $\mathbf{K} = f(\omega)$ 를 분산식(dispersion relation)이라고한다. 일반적으로 \mathbf{K} 는 복소수로서 $\mathbf{K} = \beta + i\alpha$ 로 두면 실수부 β 는 위상상수, 허수부 α 는 감쇠 또는 종로진수를 나타낸다.

5. Plasma속의 전자파

앞절의 (24)식에서 $\mathbf{E} \perp \mathbf{K}$, $\varphi = 0$ 경우 $C = 1/\sqrt{\epsilon_0 \mu_0}$ 라고 하고 전자유전율을 대입하면 파동방정식은

$$\begin{aligned} \nabla^2 \mathbf{E} - K^2 \mathbf{E} &= -\frac{\omega^2}{C^2} \left(1 + \frac{\sigma}{j \omega \epsilon_0} \right) \mathbf{E} = -\frac{\omega^2}{C^2} \epsilon \mathbf{E} \end{aligned}$$

$$\text{즉 } \quad K^2 = \frac{\omega^2}{C^2} \left(1 + \frac{\sigma}{j \omega \epsilon_0} \right) = \frac{\omega^2}{C^2} \epsilon \quad | \quad (28)$$

$$V_p^2 = \left(\frac{\omega}{K} \right)^2 = \frac{C^2}{\epsilon} \quad |$$

위식의 앞절에서 얻은 등가유전율 ϵ 의 값을 대입하면
분산식이 얻어진다.

(i) $B=0$ 인경 또는 $\mathbf{B} \perp \mathbf{K}$, $\mathbf{E} \perp \mathbf{B}$ 의 경우,

충돌이 무시되는 경우($\omega > \nu$)

$$\mathbf{K} = -\frac{\omega}{C} \sqrt{1 - \frac{\omega_p^2}{\omega^2}} \quad \dots \dots \dots (29)$$

$$\left(\frac{V_p}{C}\right)^2 = \frac{1}{1 - \frac{\omega_p^2}{\omega^2}} \quad \dots \dots \dots (30)$$

로되어 $\omega > \omega_p$ 에서는 K 는 실수로서 $\epsilon > 0$ 로되어 전자파는 전파하나 $\omega < \omega_p$ 에서는 K 는 허수로되어 전파는 plasma표면에서 반사하여 내부에 들어가지 못한다. 즉 plasma주파수 ω_p 는 전자파의 cut off 주파수로 되어서 plasma는 일종의 high pass filter의 역할을 하는 셈이다. (그림 1참조) $\omega < \omega_p$ 의 경우의 penetration

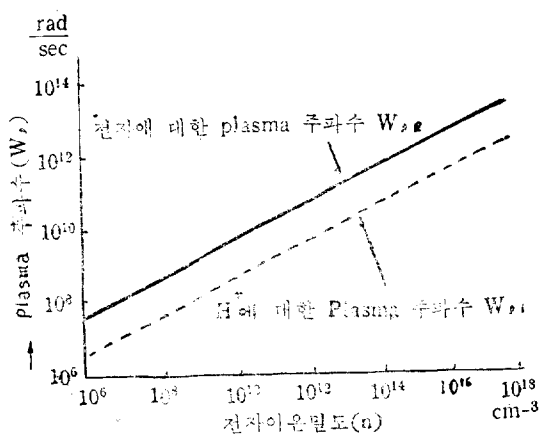


그림 1 전자이온밀도와 plasma 주파수와의 관계

d. 즉 전파가 $1/e$ 로되는 거리는

$$d = \frac{C}{\omega} \frac{1}{\sqrt{\left(\frac{\omega_p}{\omega}\right)^2 - 1}} \quad \dots \dots \dots (31)$$

로서 주어진다. ν 가 ω 에 대해서 무시하지 못하는 경우는 5월호의 (47)식부터

$$\left. \begin{aligned} \mathbf{K} &= \frac{\omega}{C} \sqrt{1 - \left(\frac{\omega_p}{\omega}\right)^2} \frac{1}{1 + j \frac{\nu}{\omega}} \\ &= \beta(\omega, \nu, \omega) + j\alpha(\omega, \nu, \omega) \end{aligned} \right\} \quad \dots \dots \dots (32)$$

로된다. 따라서 그림 2와같은 micro파 간섭계로서 plasma를 지날때의 전파의 phase shift β 및 attenuation α 를 측정하면 ω_p 또는 전자밀도와 ν 가 결정된다. 이것이 plasma진단이다. (31)식부터 plasma속의 전파의 penetration depth와 주파수와의 관계를 구하면 그림 3과같이 된다. 또 plasma표면에서의 전파의 반사의 측정으로부터라도 plasma진단은 가능하다. 이와같은

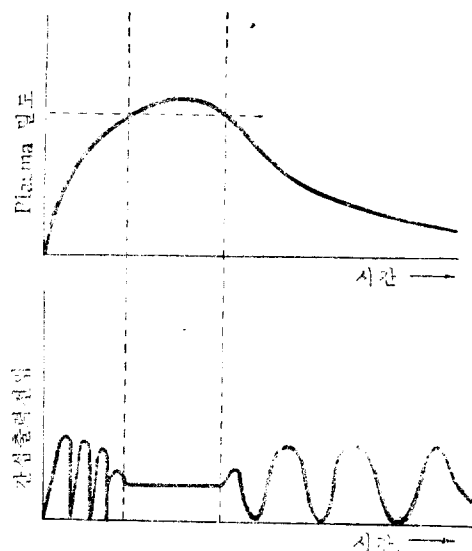
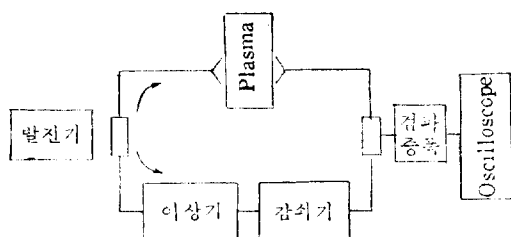


그림 2. Micro파 간섭계

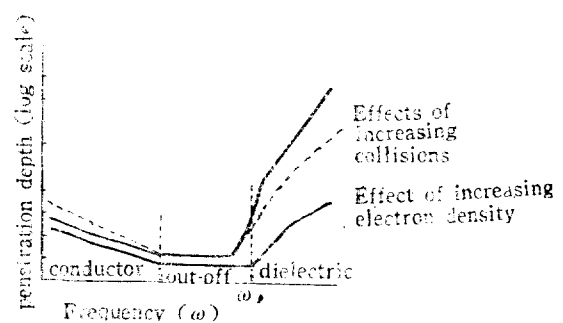


그림 3. 주파수 penetration depth와의 관계

측정은 밀도가 비교적 희박한 기체의 경우($10^{13}/cc$) micro파의 영역에서 행하고 비교적 밀도가 높은 고체 plasma에서는 적외선의 영역에서 행해진다.

(ii) $\mathbf{K} // \mathbf{B}$, $\mathbf{E} \perp \mathbf{B}$ 의 경우. 자제방향에 나가는 원판

파에 대해서 충돌이 무시되는 경우($\omega \gg v$)

5월호의 (50)식부터

$$\varepsilon = 1 - \frac{\omega_p^2}{\omega^2} \frac{1}{1 \pm \frac{\omega_c}{\omega}} \quad (33)$$

단 부호(+)인 경우 정상파 (-)인 경우 이상파를 나타낸다. 따라서 (28)식은

$$\left. \begin{aligned} K &= \frac{\omega}{C} \sqrt{1 - \left(\frac{\omega_p}{\omega}\right)^2} \frac{1}{1 \pm \frac{\omega_c}{\omega}} \\ \left(\frac{V}{C}\right)^2 &= \frac{1}{1 - \left(\frac{\omega_p}{\omega}\right)^2} \frac{1}{1 \pm \frac{\omega_c}{\omega}} \end{aligned} \right\} \quad (34)$$

로된다. (V/C)²과 ω/ω_p 의 관계를 정상파 및 이상파에 대해서 그리면 그림 4와같이 된다. 그림 4에서 (V/C)²<0의 영역은 K가 허수로 되고 전파가 전파하지 않는 차단역이다. 정상파 및 이상파에 대해서 차단역을 나타내면 그림 5와같이 자체의 시기가 강화됨에 따라 차단역이 다같이 좁아져서 $\omega < \omega_c$ 의 주파수의 파라도 전파하게된다. 이를 Whistler mode라고 한다.

정상파에 대해서는 $\frac{-\omega c_e + \sqrt{\omega c_e^2 + 4\omega_p^2}}{2} \omega > 0$

그림 4. (V/C)²과 ω/ω_p 의 관계

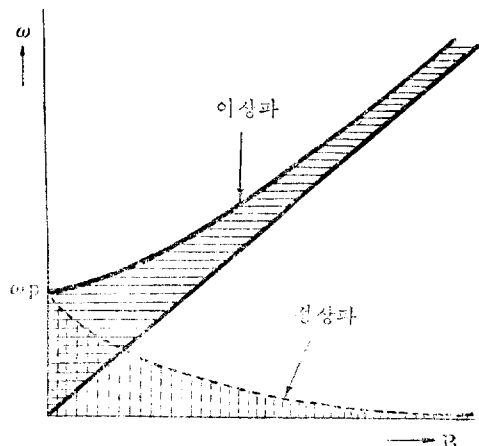
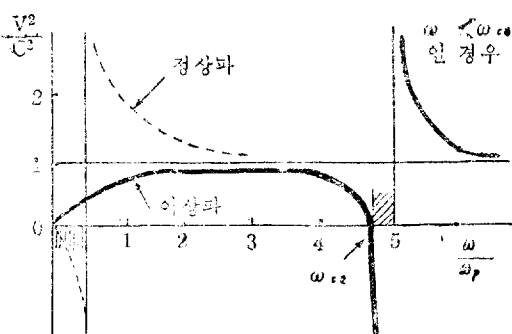
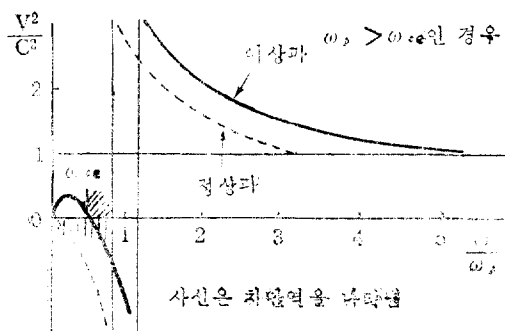


그림 5. 정상파와 이상파의 차단역

가 더욱 더 강한경우 이상파에 대해 $0 < \left(\frac{V_p}{C}\right) < 1$ 의 영역이 있어서 전파의 속도가 정속 보다 느리게 되니까 V_p 보다 빠른 전자비임을 적용시킴으로서 Cerenkov 불사가 일어난다. 또 $\omega_c > \omega_p$ 인 경우는 $\omega = \omega_c$ 로서 이상파의 흡수전력이 최대로 되고 소위 cyclotron증명을 나타나게된다. 고체에서는 cyclotron 증명 조건부터 ($\omega = \omega_c$) 전자의 유효질량이 구해지며 그외에 원족돌림의 파와 오른쪽돌림의 파의 K 또는 위상상수가 상위한것을 이용하여 직선원파를 plasma에 통과시켰을 때의 면파면의 회전 즉 Faraday효과를 측정하고 그것부터 거체 및 고체 plasma의 기초량(전자밀도, 전자유효질량, 충돌주파수등)이 구해진다. 가령 충돌을 무시할수 있는경우에 ω_p/ω 및 $\omega_c \ll 1$ 일때는 plasma의



자체 차단역은

이상파에 대해서는 $\frac{-\omega c_e + \sqrt{\omega c_e^2 + 4\omega_p^2}}{2} > \omega > \omega_c$

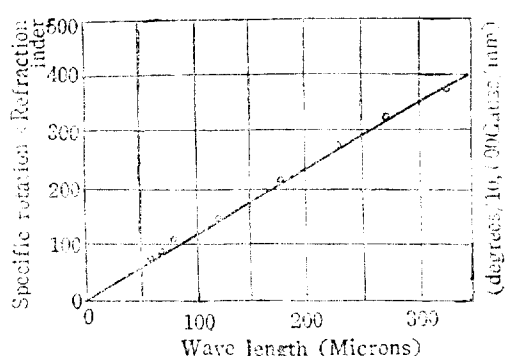


그림 6. 정상파와 이상파의 차단역

단위질이에 대해서 그 평파면의 회전각 θ 는 (34)식의 $\mathbf{K}_+ - \mathbf{K}_-$ 부터 구해져서

$$\theta = \frac{\omega_e}{2\epsilon} \left(\frac{\omega_p}{\omega} \right)^2 = \frac{eB_0}{2m} \left(\frac{ne^2}{m\epsilon_e} \right) \frac{1}{\omega^2} \quad \dots\dots\dots(35)$$

로된다. 그림 6은 n 형 $I_n S_n$ 에 (θ , 굴절율)과 적자선의 파장 $\lambda^2 = \left(\frac{2\pi c}{\omega} \right)^2 \xi$ 의 관계를 구한 것으로 이 slope 와 (35)식부터 $I_n S_n$ 축의 유도질량으로서 $m = 0.028m$ 가 얻어진다.

(iii) $\mathbf{K} \perp \mathbf{B}$, $\mathbf{E} \perp \mathbf{B}$ 의 경우

이 경우 전파의 양상이 복잡하여 전자파와 electrostatic wave가 교차한 hybrid wave로 되고 phase velocity는

$$\left(\frac{V_s}{C} \right)^2 = \frac{1 - \left(\frac{\omega_p}{\omega} \right)^2 - \left(\frac{\omega_e}{\omega} \right)^2}{\left[1 - \left(\frac{\omega_p}{\omega} \right)^2 \right] \int^2 - \left(\frac{\omega_e}{\omega} \right)} \quad \dots\dots\dots(36)$$

로서 주어지고 $\omega^2 = \omega_p^2 + \omega_e^2$ 가 공진조건으로된다.

이상으로서 무한히 굽인한 plasma에 대해서 기술해왔으나 유한한 plasma에서는 그 점면에 표면파가 존재하고 있어서 그 취급이 복잡하게된다.

(iv) 전자유체파(Alfven wave)

이제까지 위급한 것은 이온의 운동을 무시했으나 주파수 ω 가 높아져서 이온과 전자로부터 구성되는 plasma 전체의 속도 \mathbf{V} 따라서 $\mathbf{V} \times \mathbf{B}$ 의 기전력을 무시못하게 된다. 지금 Z방향의 자장 B_z 의 방향에 \mathbf{K} 를 가지고 전장이 \mathbf{X} 방향에 전동하는 파를 생각하면 전자유체 방정식 (21)식 및 (22)식은 단파와 중력의 무시에서

$$\varphi_{\text{in}} \frac{\partial^2 \varphi}{\partial t^2} = -j_x B_z \quad \dots\dots\dots(37)$$

$$\frac{\partial E_x}{\partial t} - \frac{\partial j_x}{\partial t} = E_x + V_s B_z - \frac{1}{\epsilon n_e} j_y E_z \quad \dots\dots\dots(38)$$

로되어 (37)식을 시 간미분해서 (38)식에 대입하면

$$\frac{m_e \frac{\partial^2 j_x}{\partial t^2}}{\mu_e c^2} = \frac{\partial E_x}{\partial t} - \frac{B_z^2}{\varphi_m} j_x - \frac{B_z}{\epsilon n_e} \frac{\partial j_y}{\partial t} \quad \dots\dots\dots(39)$$

로 되고

$\omega \gg \omega_e \gg \omega$ 인 경우는 윗식은

$$\frac{\partial E_x}{\partial t} = \frac{B_z^2}{\varphi_m} j_x \quad \dots\dots\dots(40)$$

로된다. 이것을 전파의 이동방정식에 대입해서

$$\begin{aligned} \frac{\partial^2 E_x}{\partial x^2} &= \frac{1}{C^2} \frac{\partial^2 E}{\partial t^2} + \mu_e \frac{\partial j_x}{\partial t} = \left(1 + \frac{\rho_m}{\epsilon_e B_z^2} \right) \\ &\quad \frac{1}{C^2} \frac{\partial^2 E}{\partial t^2} \end{aligned} \quad \dots\dots\dots(41)$$

로된다. 이것부터 이 종파(縱波)의 진행속도는

$$\left(\frac{V_s}{C} \right)^2 = \frac{1}{\left(1 + \frac{\rho_m}{\epsilon_e B_z^2} \right)} - \frac{B_z^2 \epsilon_e}{\varphi_m} \quad \dots\dots\dots(42)$$

로된다. 횡파(橫波)($\mathbf{E} \perp \mathbf{B}$)에 대해서 똑같은 관계가 얻어지며 이를을 Alfven wave라고한다. 이 횡파는 cyc-

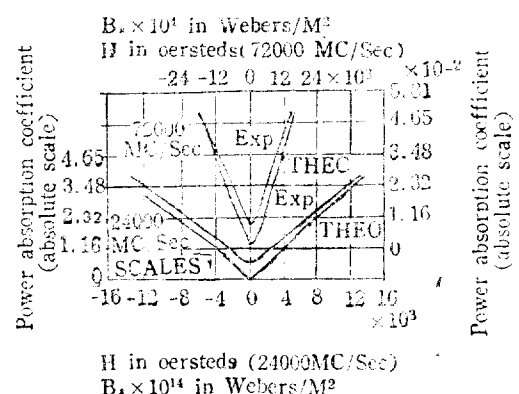
otron운동을 하는 이온이 들려 쌓기 때문에 밀도 φ_m 의 자력선이 Maxwell의 의력(歪力) B_z^2 / μ_e 로서 고이 당겼을 때의 현진동(放振動←변위 ξ)이라고 생각할수가 있다. 이는 아랫 (43)식과 (41)식을 비교하면 알수가 있다.

$$\varphi_m \frac{d^2 \xi}{dt^2} = -\frac{B_z^2}{\mu_e} \xi \quad \dots\dots\dots(43)$$

진행방향이 자체방향과 평행이 아닌 경우 단성적인 털도의파동(음파)과 Alfven wave의 hybrid wave가 일어난다. 기체속에서 Alfven wave전파의 실험도 행해지나 이러한 경우, 보통의 자장에서는 이온의 cyclotron주파수가 낮고 사용되는 전파의 파장이 긴데 때문에 강자장이나 plasma의 크기 및 충돌주파수등의 관련에서 여러가지 곤란이 생긴다. 고체에서는 전자-이-plasma에 대신하여 전자-정공(正孔) plasma계 이미 때문에 cyclotron주파수가 크고 기체에 비하여 훨씬 짧은 파장으로서 실험을 할수있는 ($B_z = 5 \sim 10$ KG에서 ω 는 micro파역)이점이 있다. 이를 Helican진동이라고 부르는경우도다. Buchsbaum 등은 micro파 공동속에 B_z 를 주었을 때 그 반사를 R 및 주파수 f 가 Alfven wave의 속도를 V_s 라고했을때

$$1 = 1 - R = 1 - \left(\frac{C - V_s}{C + V_s} \right)^2 \approx 4 - \frac{V_s}{C} \quad \dots\dots\dots(44)$$

로되는것을 이용하여 그림 7처럼 B_z 와 A 와의 관계를 측정하여 (44)식을 이용한 계산치와 잘 일치하는것을 확인했다.



H in Oersteds (24,000 MC/S)
 $B_z \times 10^4$ in Webbers/M²

H in Oersteds (24,000 MC/S)

$B_z \times 10^4$ in Webbers/M²

그림 7 B_z 와 A 와의 관계